

衛星イオの火山活動と 磁気圏へのガス散逸

土屋史紀(東北大・理)

米田瑞生(キーペンハウアー太陽物理研究所)

古賀亮一(東北大・理)

ひさきサイエンスチーム

外惑星衛星大気



イオ	ガニメデ	タイタン
二酸化硫黄 表面温度>昇華温度 火山活動 非一様な大気 赤道域: collosionally thick	水(氷) 外圏大気	メタン・窒素 発達した大気

イオの大気と火山活動

イオ大気: カラム密度: $3 \times 10^{16} \text{cm}^{-2}$ (0.6nbar)

非一様・希薄だが、衝突効果が重要な濃い大気(電離圏の形成)

大気形成メカニズム

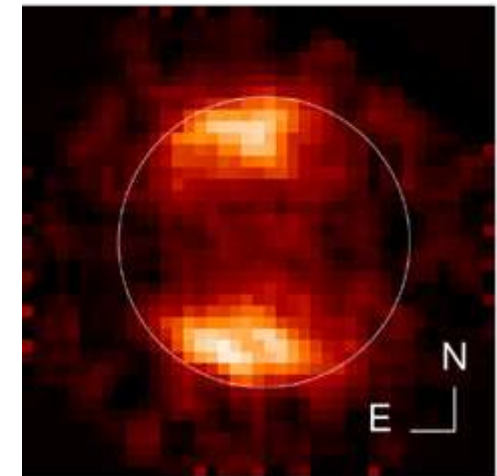
(1) Ion sputtering with Io's surface (Moon & Mercury)

(2) SO₂ sublimation, (3) Volcanic support

散逸メカニズム

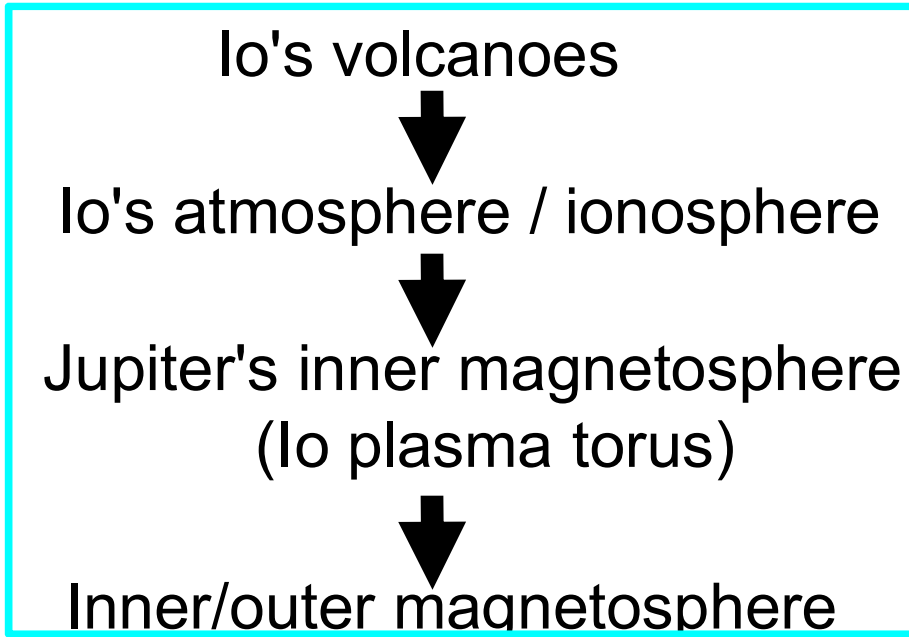
- 火山からの噴出ガスは大気にバッファされる
 - 火山噴出による原子・分子の初速 $v < 1 \text{km/sec}$
 - イオ重力圏からの脱出速度 $v_{esc} = 2.6 \text{km/sec}$
- 非熱的な散逸過程が必要 (atmospheric sputtering)
- 火山の変化は大気散逸量にどのように影響するか？

1998 West

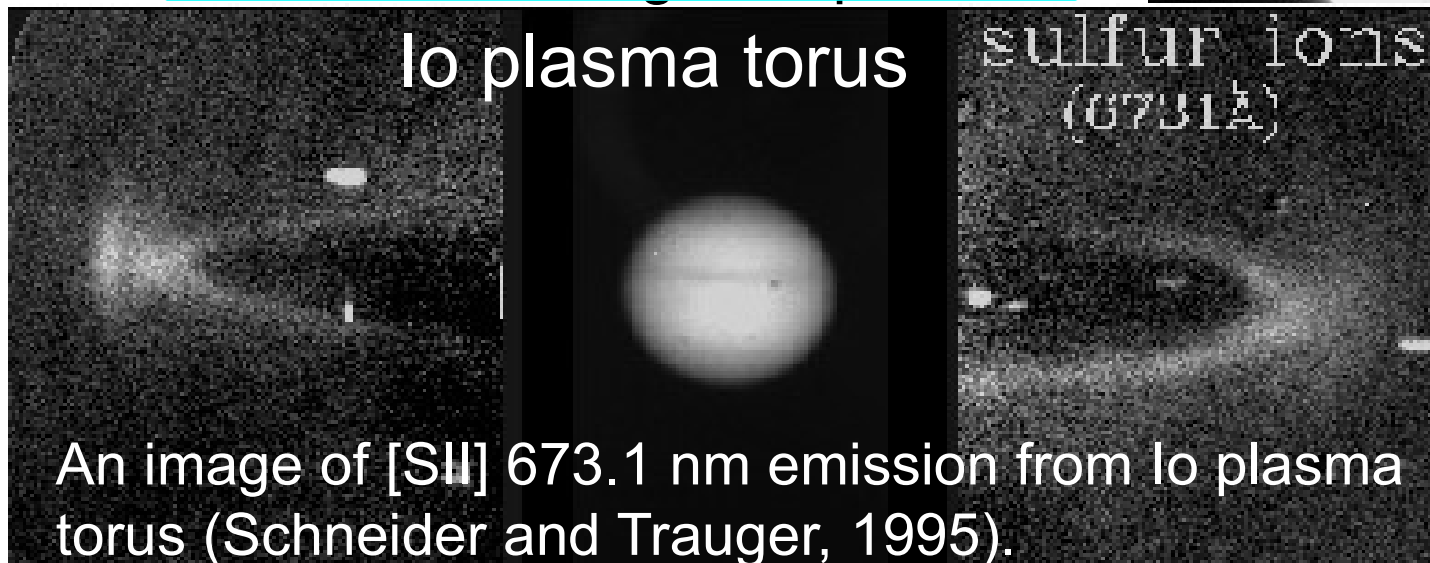
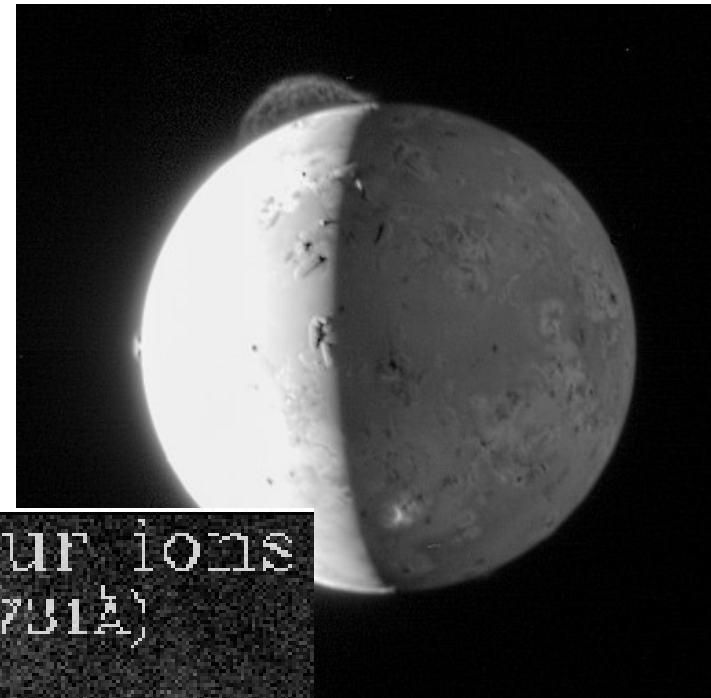


H Ly- α absorption(HST)

イオ大気散逸と磁気圏への影響



Io's volcanic plumes obtained by the New Horizons spacecraft.



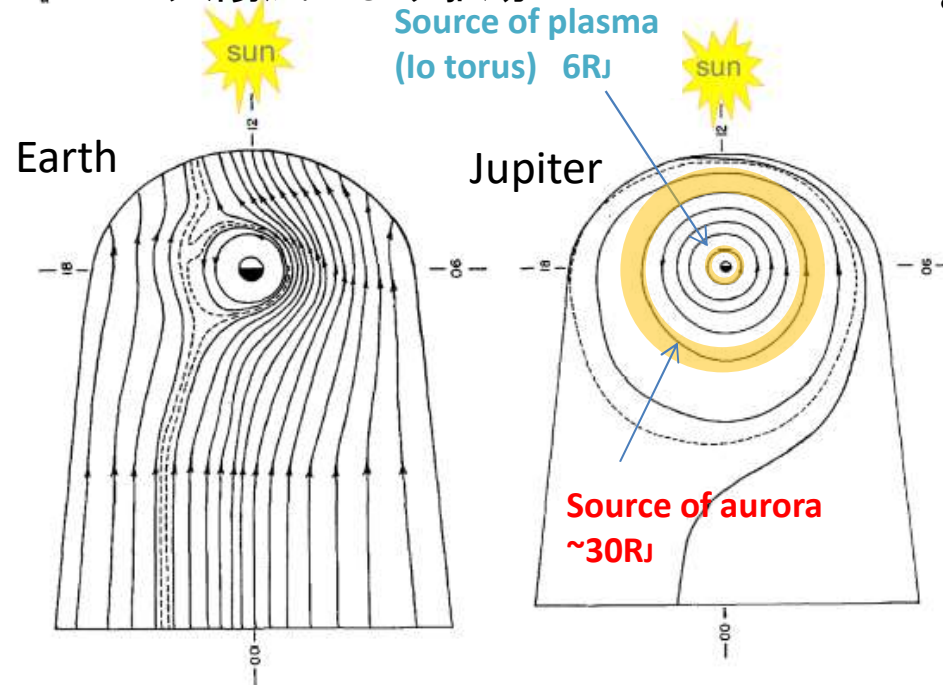
イオ大気散逸と磁気圏への影響

木星：共回転が卓越

・・・惑星自転により駆動

地球：太陽風方向のプラズマ流が卓越

・・・太陽風により駆動

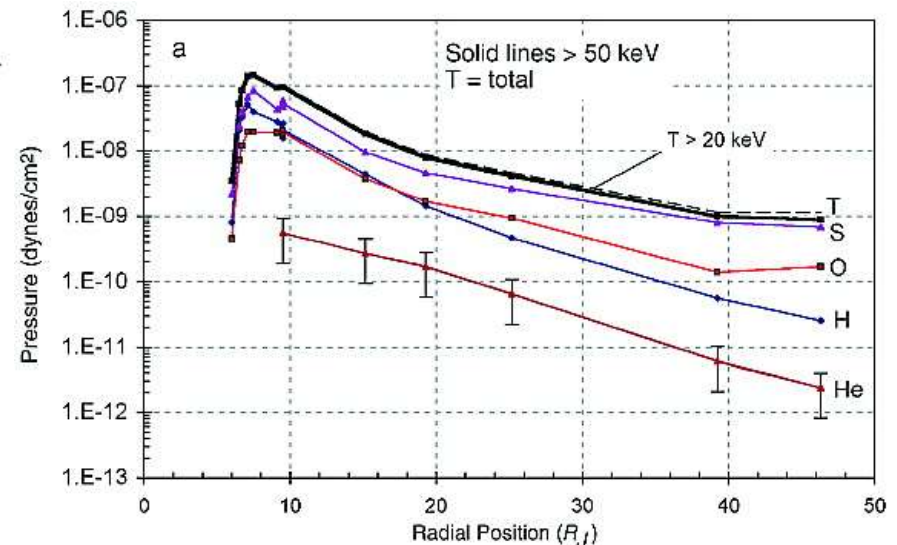


Global plasma convection :
Earth & Jupiter (Kivelson 2005)

回転系の磁気圏で、内部のプラズマ源が変化した時、磁気圏にどのような影響を及ぼすか？

プラズマトーラスからプラズマが外向き輸送

- 磁気圏の「磁気ディスク構造」を支えるプラズマ圧を供給
- 木星の自転運動量を磁気圏プラズマに供給



Radial distribution of plasma pressure in the Jovian magnetosphere observed by Galileo (Mauk et al. 2004)

目的

大気の成因: 昇華 or 火山

火山活動の変動 vs. 磁気圏への散逸と影響

イオ赤外放射観測
・火山活動の同定

Katherine de Kleer
(UC Berkerey)

HISAKI衛星(極端紫外)
・酸素原子・プラズマ
・オーロラ(磁気圏)

地上光学観測(可視)
・中性Na雲観測

米田
(キーペンハウアー太陽物理研究所)

観測

1. HISAKI衛星(極端紫外)

古賀(東北大)

- ・酸素原子
- ・プラズマ
- ・オーロラ(磁気圏)

2. 地上光学観測(可視)

- ・中性Na雲観測

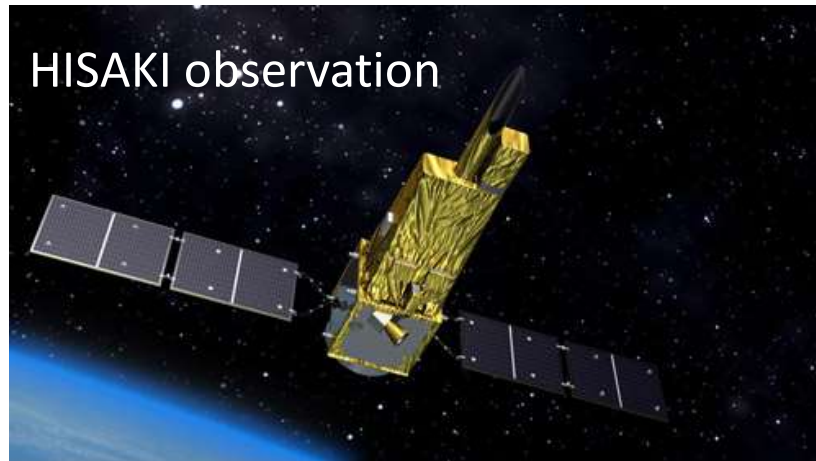
3. イオ赤外放射観測

- ・火山活動の同定

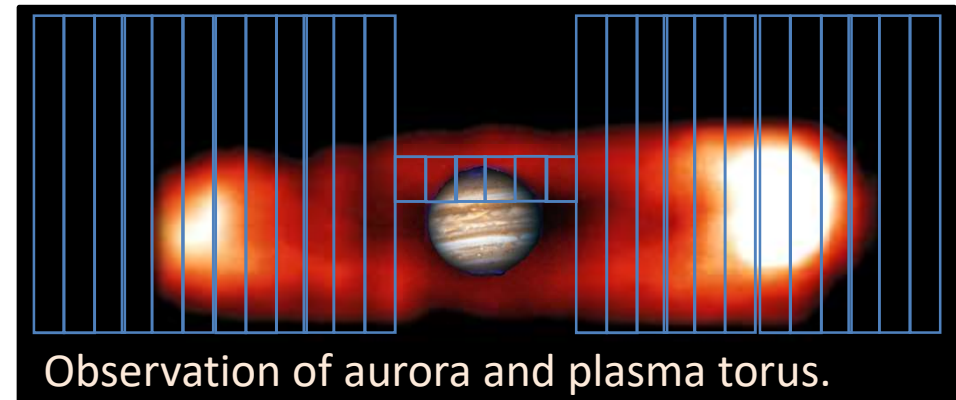
米田(キーペンハウアー太陽物理研究所)

Katherine de Kleer (UC Barkerey)

[1] HISAKI衛星

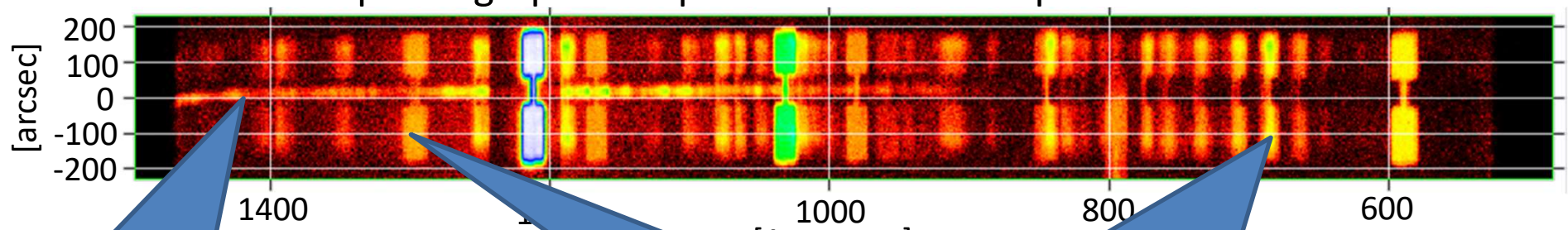


- Launch : Sep 14, 2013
- Orbit : 950km × 1150km (LEO)
- EUV spectroscope (EXCEED)



- Wavelength range: 55-145nm ($\Delta=0.4-1.0$ nm)
- Field of view (along slit) : 360 arc-sec
- **Spatial resolution : 17 arc-sec**
- Electron temperature/density ($T \sim 5\text{eV} + 100\text{eV}$)
- Ion composition (S, O ions)

Spectrograph of Io plasma torus and Jupiter's aurora

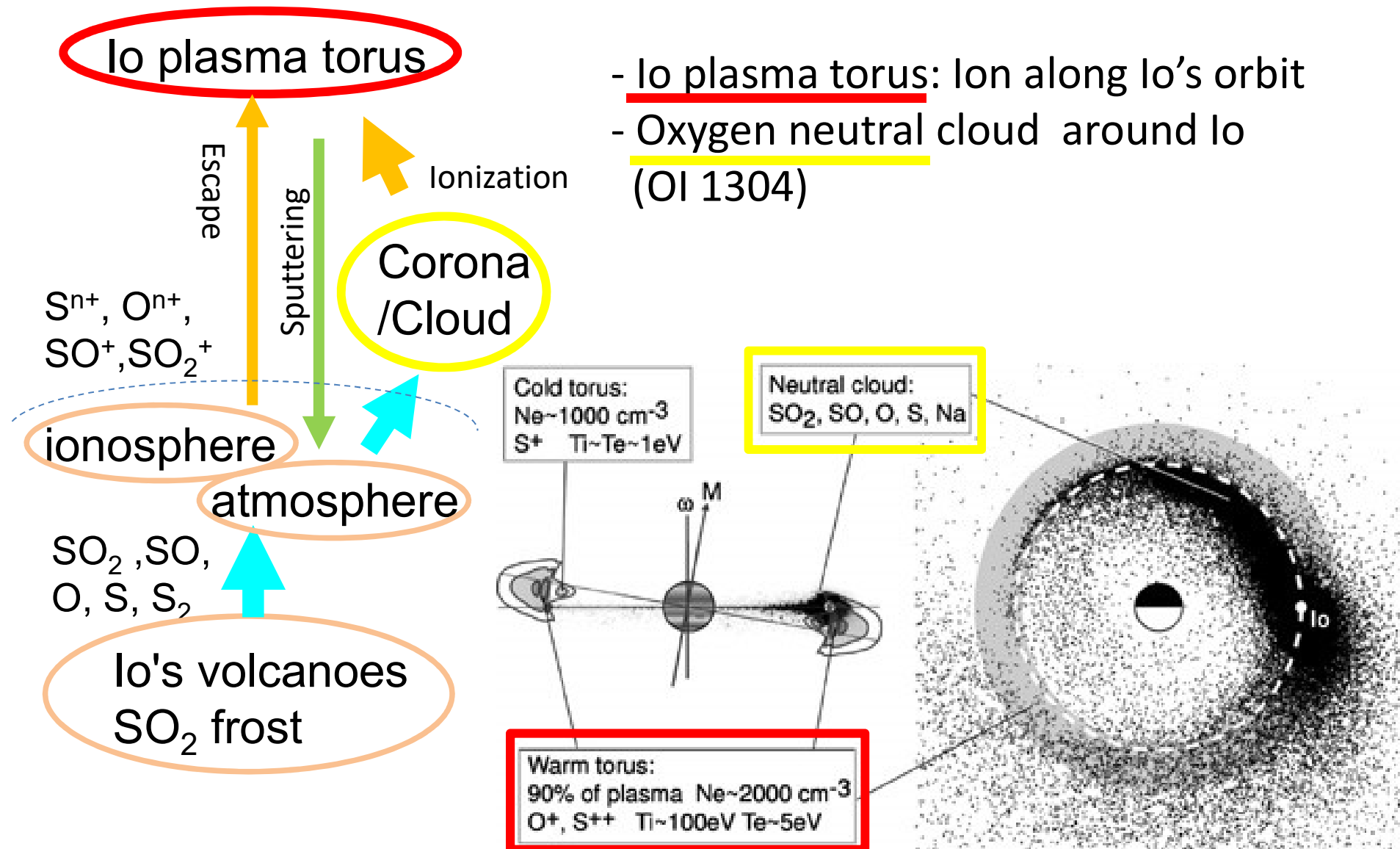


オーロラ:磁気圏活動

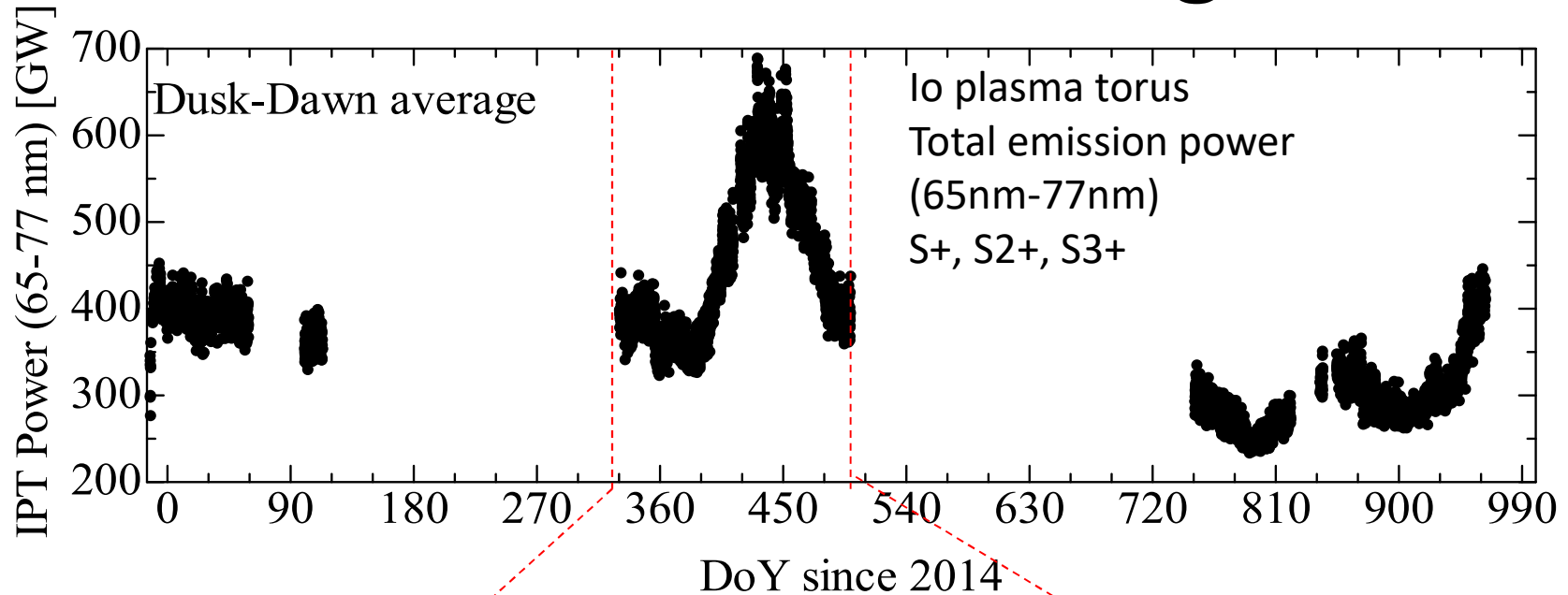
OI1304:イオ酸素原子雲

硫黄イオン:プラズマトーラス

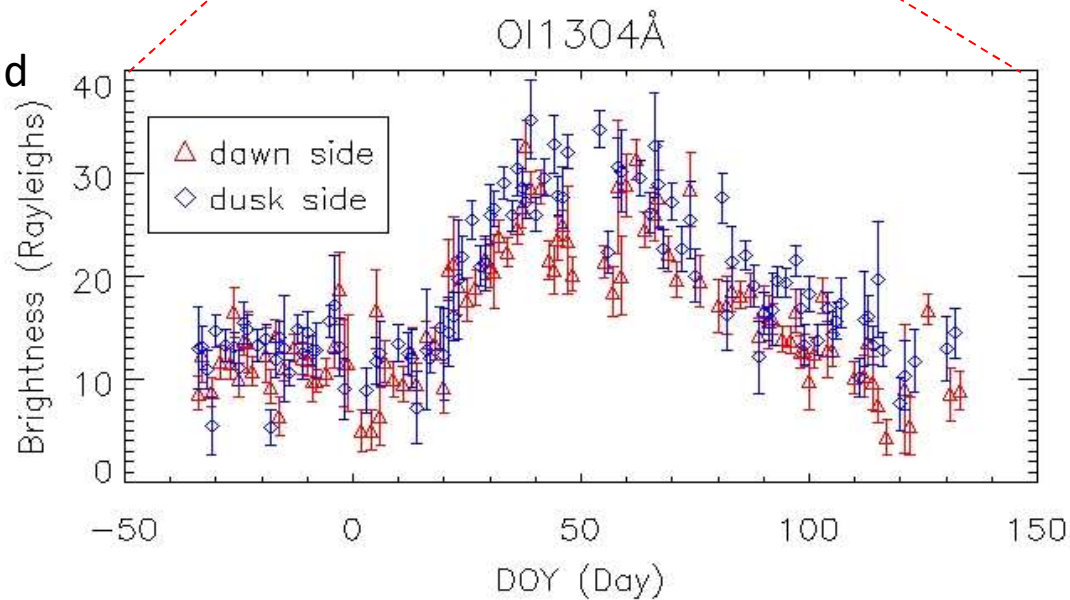
HISAKI: Io plasma torus & Oxygen cloud



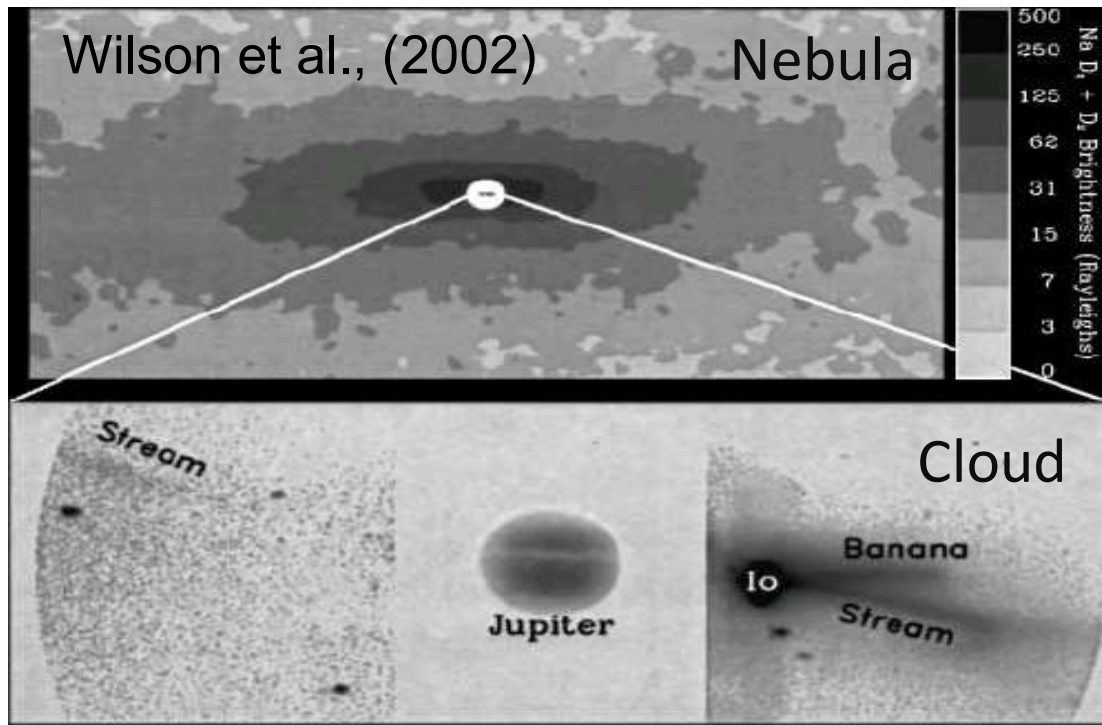
HISAKI衛星: Dec. 2013-Aug. 2016



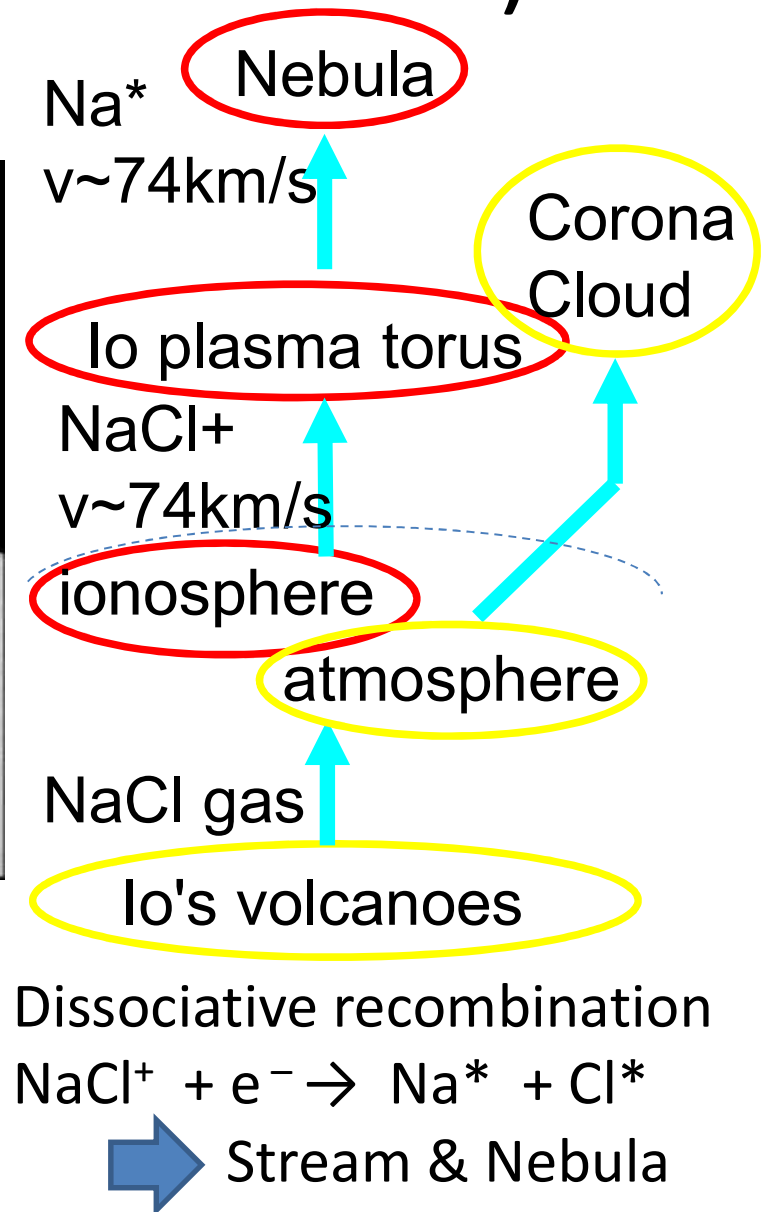
Neutral oxygen cloud
(130.4nm)
(Koga et al. 2017)



[2] 中性Na雲(Sodium Nebula)



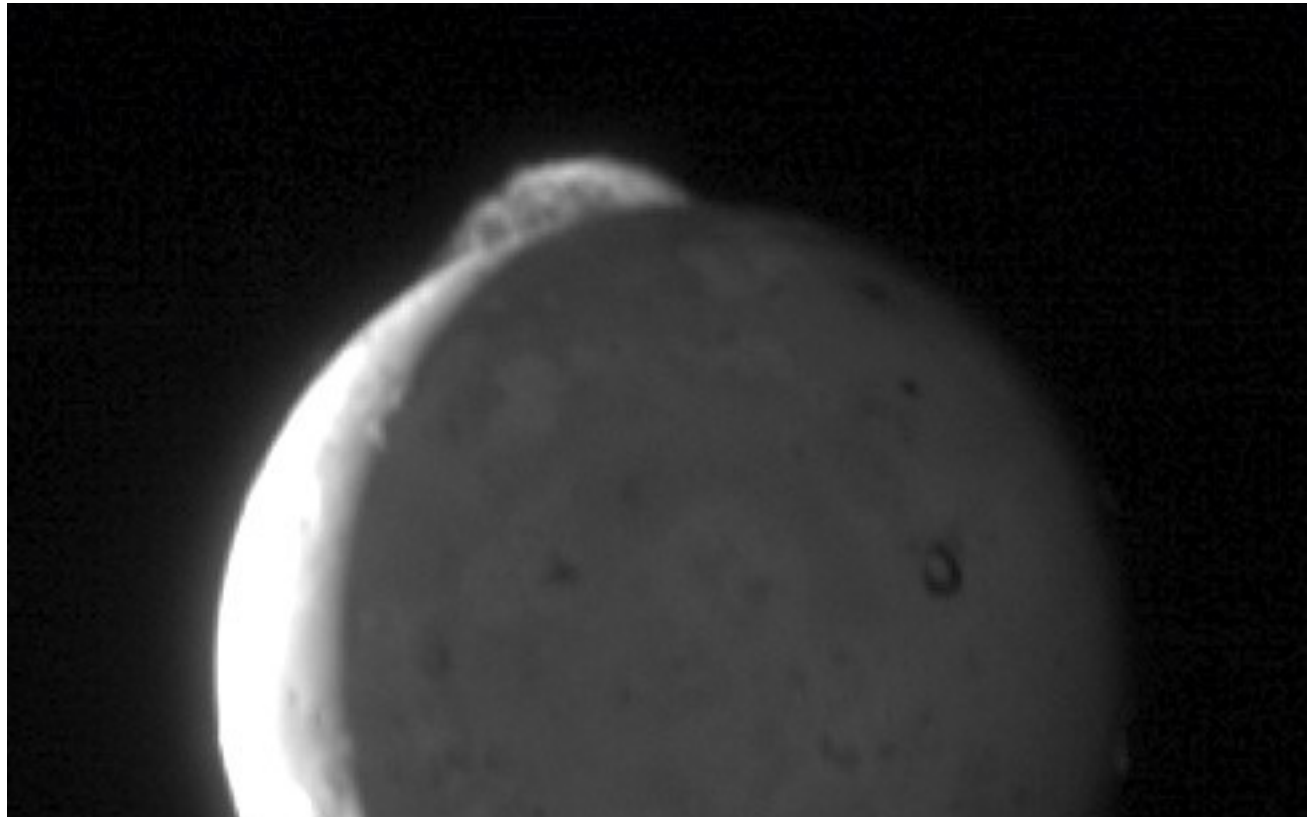
D-line emissions of sodium cloud/nebula with a wide FOV (TOP) and small FOV (Bottom) (Wilson et al., 2002).



NaCl on Io is observed only around active volcanic plumes.
(Lellouche et al. 2003, Moses et al. 2003)

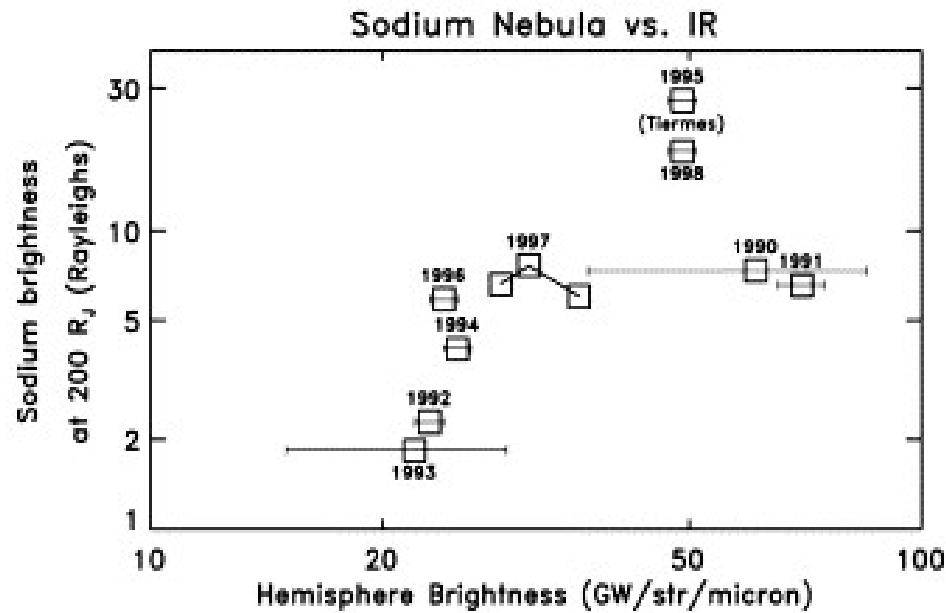
- ➔ Sublimation temperature of NaCl is $\sim 1,500$ K.
- ➔ Increase in sodium emissions indicates event accompanied with volcanic plumes on Io.

Volcanic plume on Io captured by the New Horizons spacecraft (JPL/NASA).

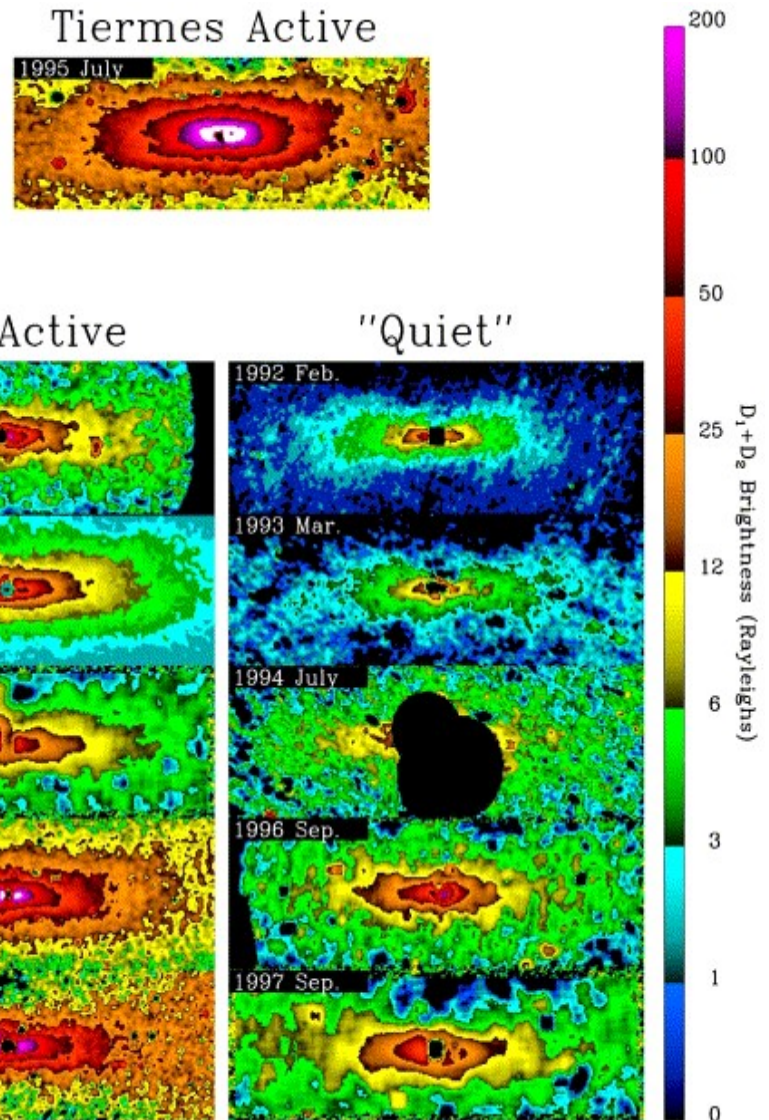


Volcanism v.s. Sodium brightness

Mendillo et al. (2004) found a positive correlation between brightness of the sodium nebula and Io's volcanic activity.



D-line brightness in the sodium nebula v.s. infrared brightness of Io (Mendillo et al., 2004).



Summary of Jupiter's sodium nebula and Io's volcanic activity analysis for the period 1990-1998. (Mendillo et al., 2004)

Observations

Period: Oct 2013 – Apr 2016
(covering the whole HISAKI
observation campaign.)

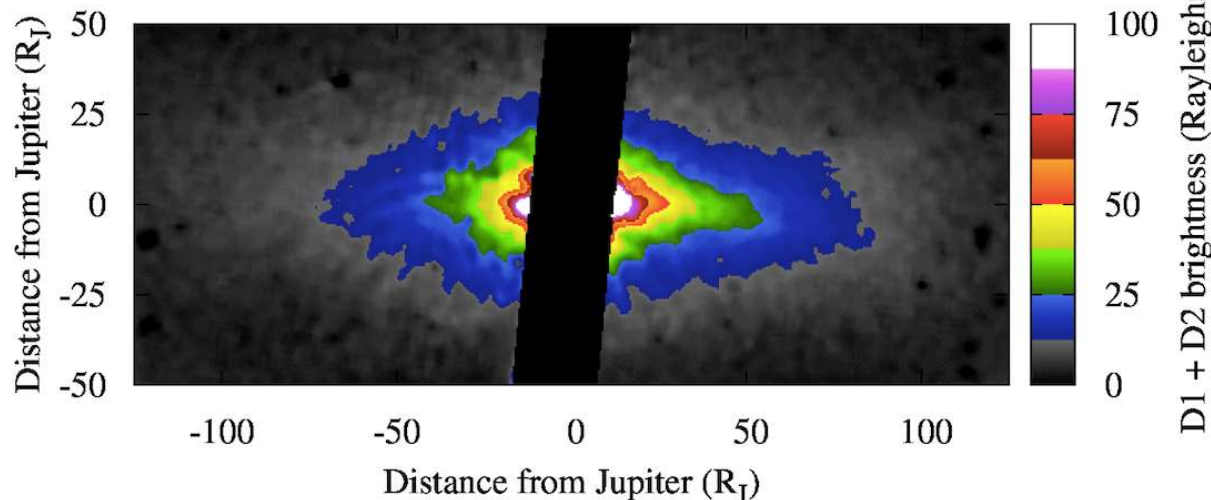
Site: Haleakala High Altitude Observatory
Maui, Hawaii

Instrument: A 10-cm refractor.
with narrow band filters



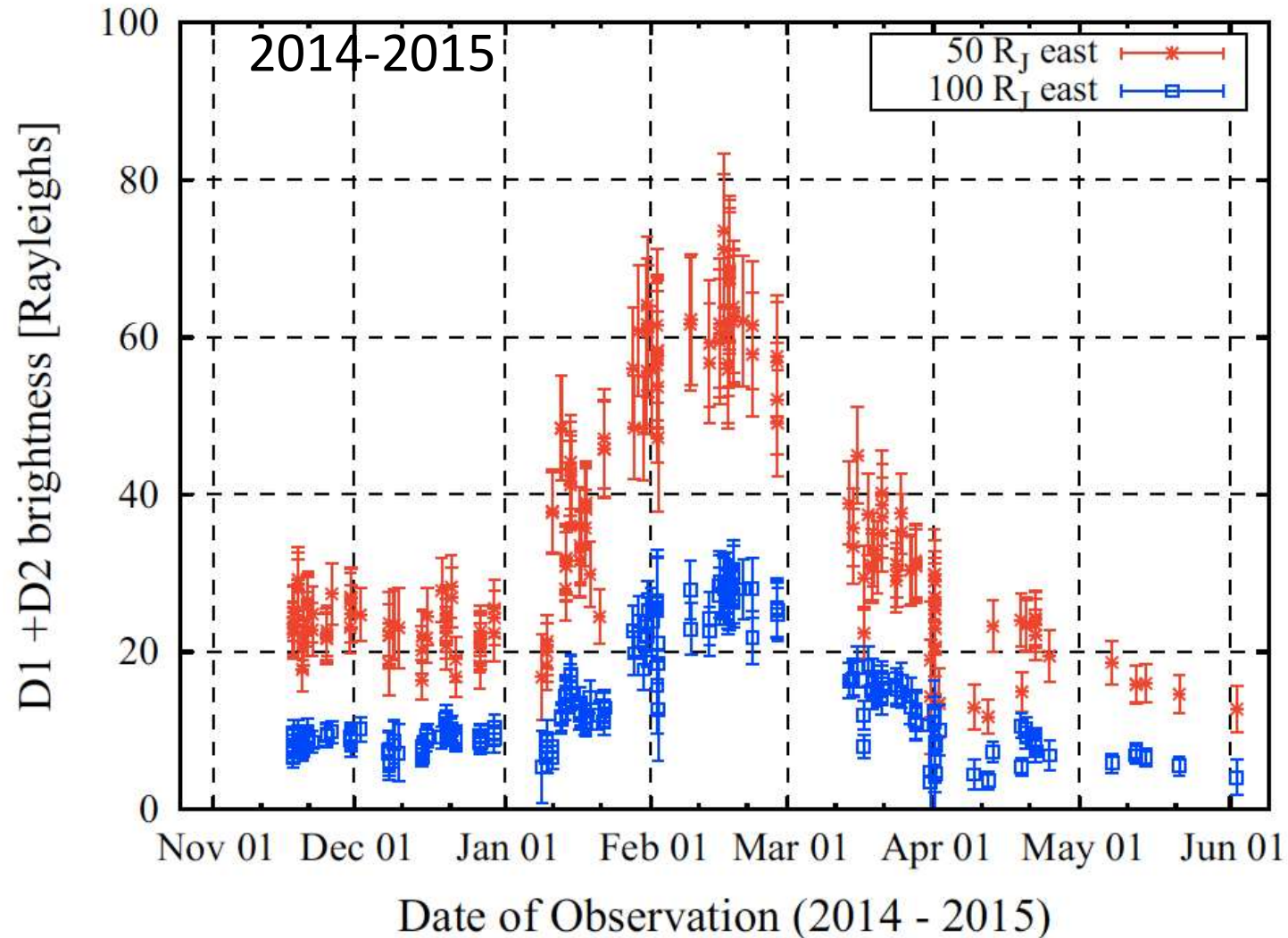
A filter imager used for observations
of Jupiter's sodium nebula.

12^h38^mUT November 24, 2013



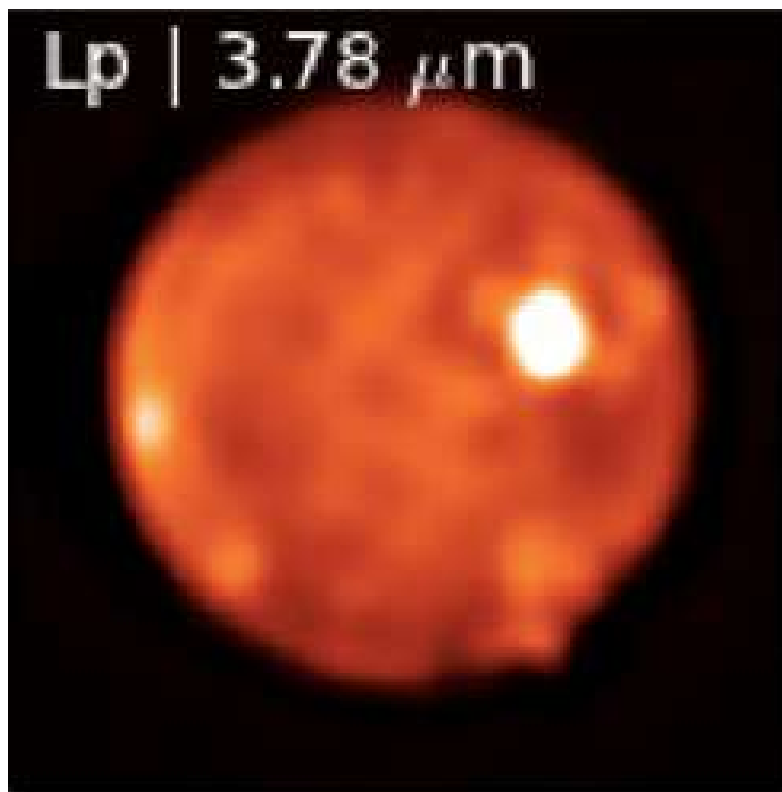
An image of sodium
nebula taken in 2013.

Observation results



2015年に観測された木星ナトリウム雲の増光 (Yoneda + 2015)。
ひさき衛星サポート期間(2013年～)の最大のイベント、
→ 2015年のイベント (Yoneda et al., 2015, ICARUS)

[3]イオ：赤外線観測



イオの画像(Keck II, 3.8 μm)
De Kleer & De Peter (2016)

de Kleer et al. (2015)
de Peter et al. (2016)
de Kleer & de Peter (2016)

3.8 μm でのイオ観測

Keck-II, Gemini-N

イオの木星蝕(衝前後は困難)

薄明時間帯の観測(モニタ)



火山(火山タイプ)の同定

火山活動の時間変化

温度の計測(複数波長観測)

3つの観測の比較

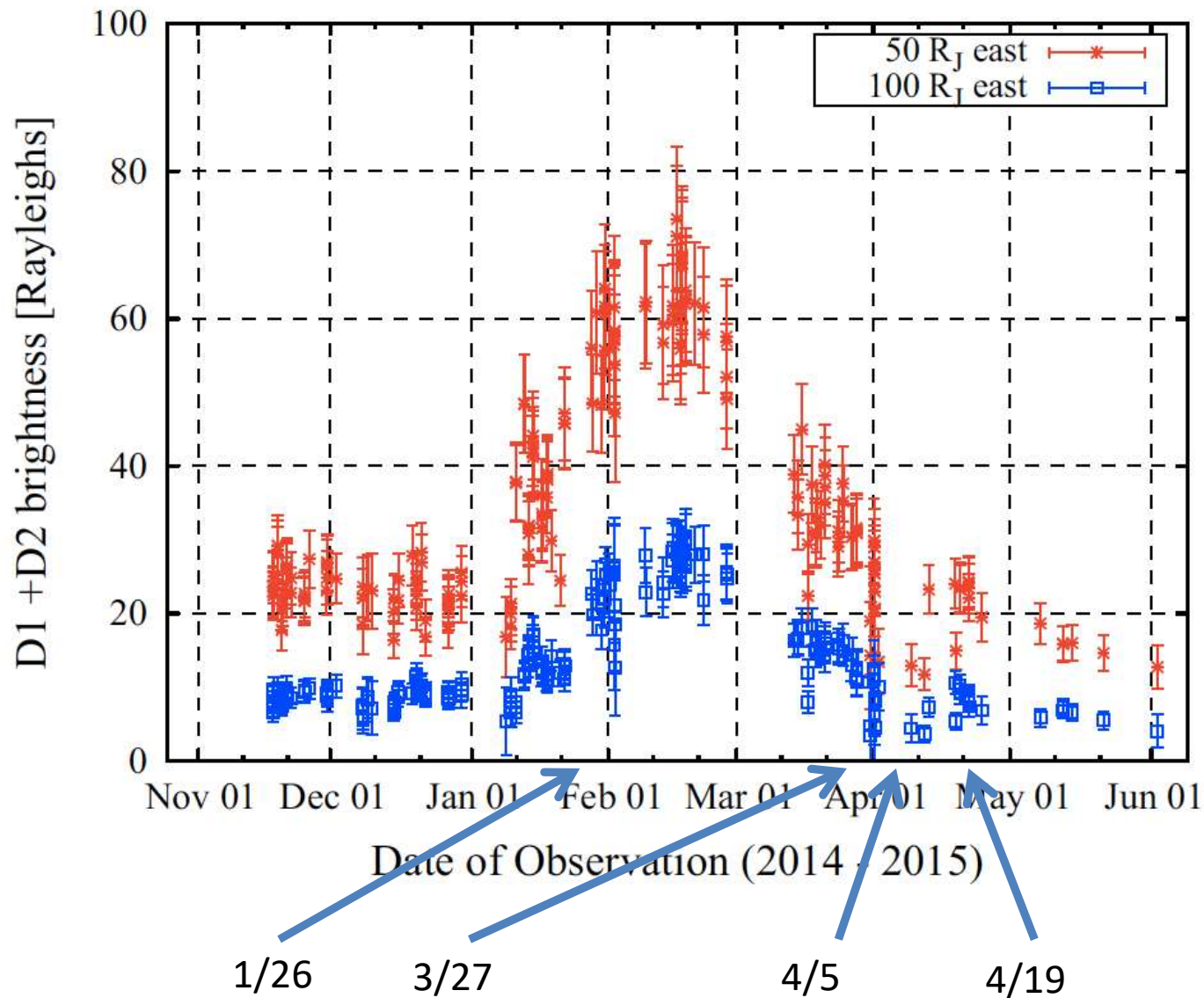
大気の成因: 昇華 or 火山

火山活動の変動 vs. 磁気圏への散逸

イオ赤外放射観測
・火山活動の同定

HISAKI衛星(極端紫外)
・酸素原子・プラズマ
・オーロラ(磁気圏)

地上光学観測(可視)
・中性Na雲観測



Naで最大の増光があった、2月中の赤外線観測データに欠ける。

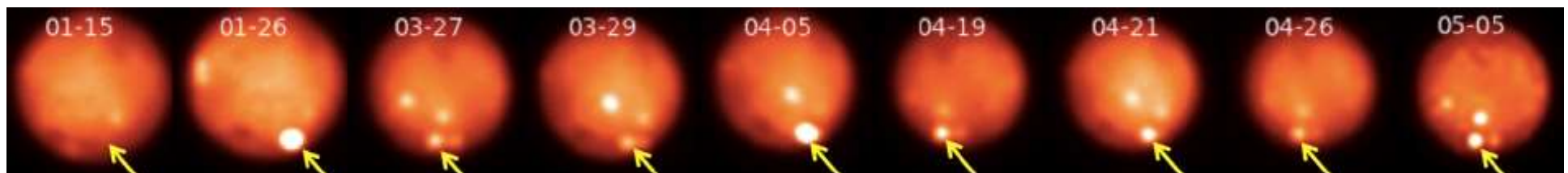
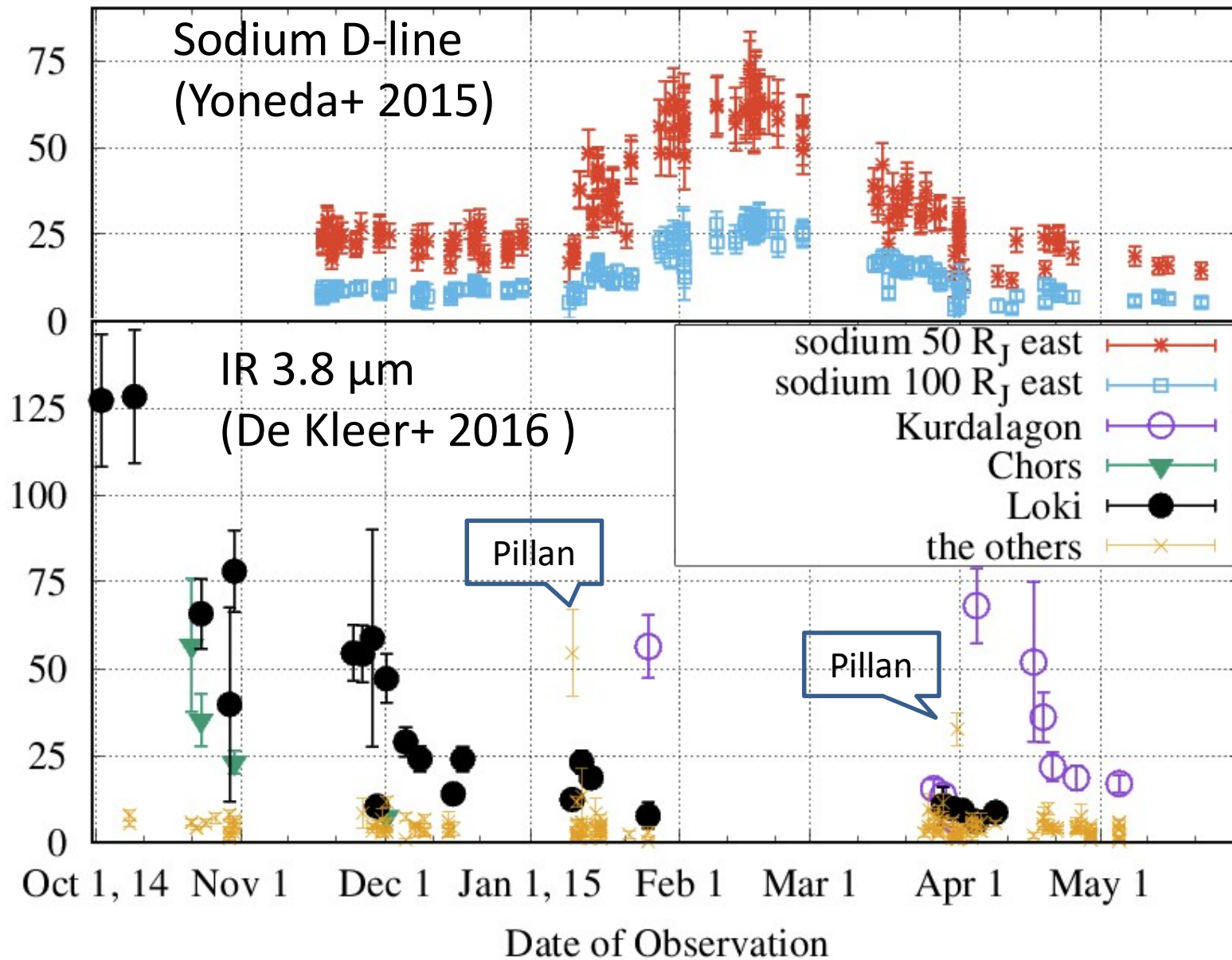


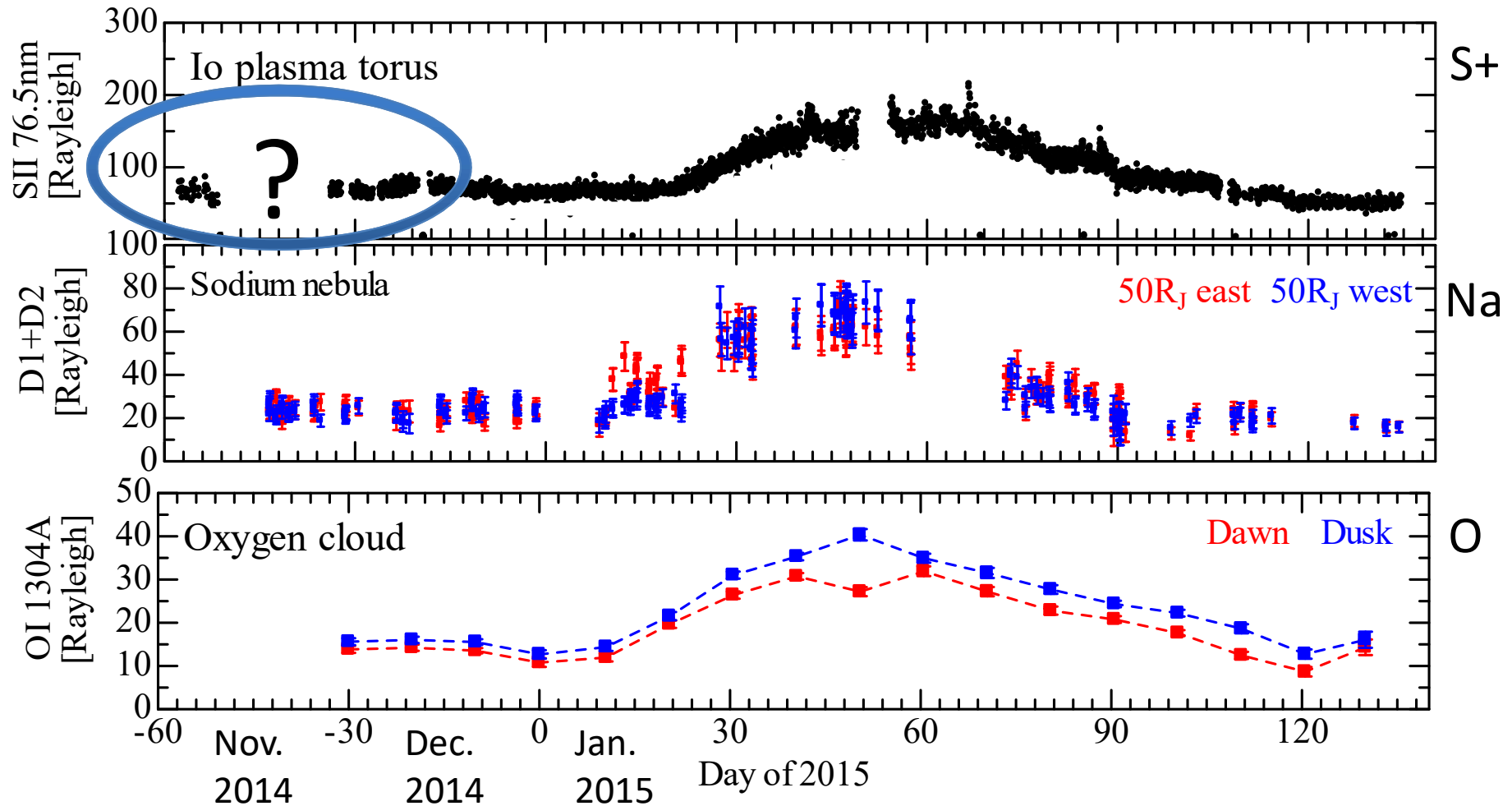
Fig. 12. IR 3.8 μ m images of Io by de Kleer + 2016.

Radiance (GW/ $\mu\text{m}/\text{str}$) D1 + D2 brightness (Rayleighs)



2015年に観測された木星ナトリウム雲の増光とKeck-II・Gemini-Nで得られたイオ火山の赤外線観測データ。

Hisaki データ: 昇華点の低いSO₂起源のIo plasma torus S⁺ イオンの発光にもIR観測対応する増光がない。



2015年に観測された木星ナトリウム雲の発光強度と、ひさき衛星で観測された硫黄一価イオン、酸素原子発光強度

100-200 K 程度の温度上昇で、SO₂は昇華するにも関わらず、2014年の Loki のイベントに対して、トーラスのS⁺イオンの発光は反応していない。なぜ？

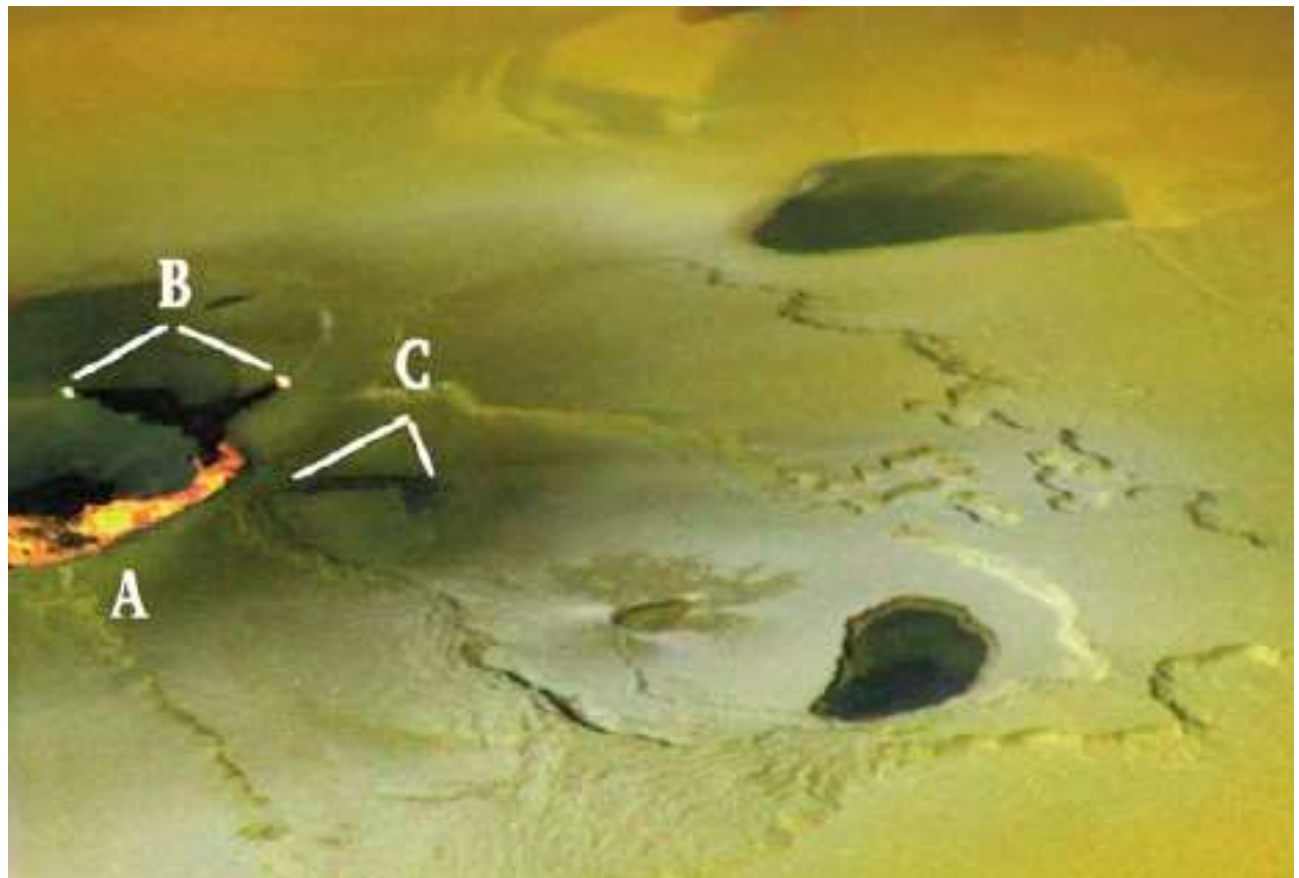
Na にも反応がないため、plume型では無かったのだろう。

Plume 型以外にはどんな火山が？

(1) Lava lake : 溶岩湖

(2) Lava flow : 溶岩流

Geological features created by volcanism captured by the Galileo spacecraft.
(Milazzo et al., 2005).

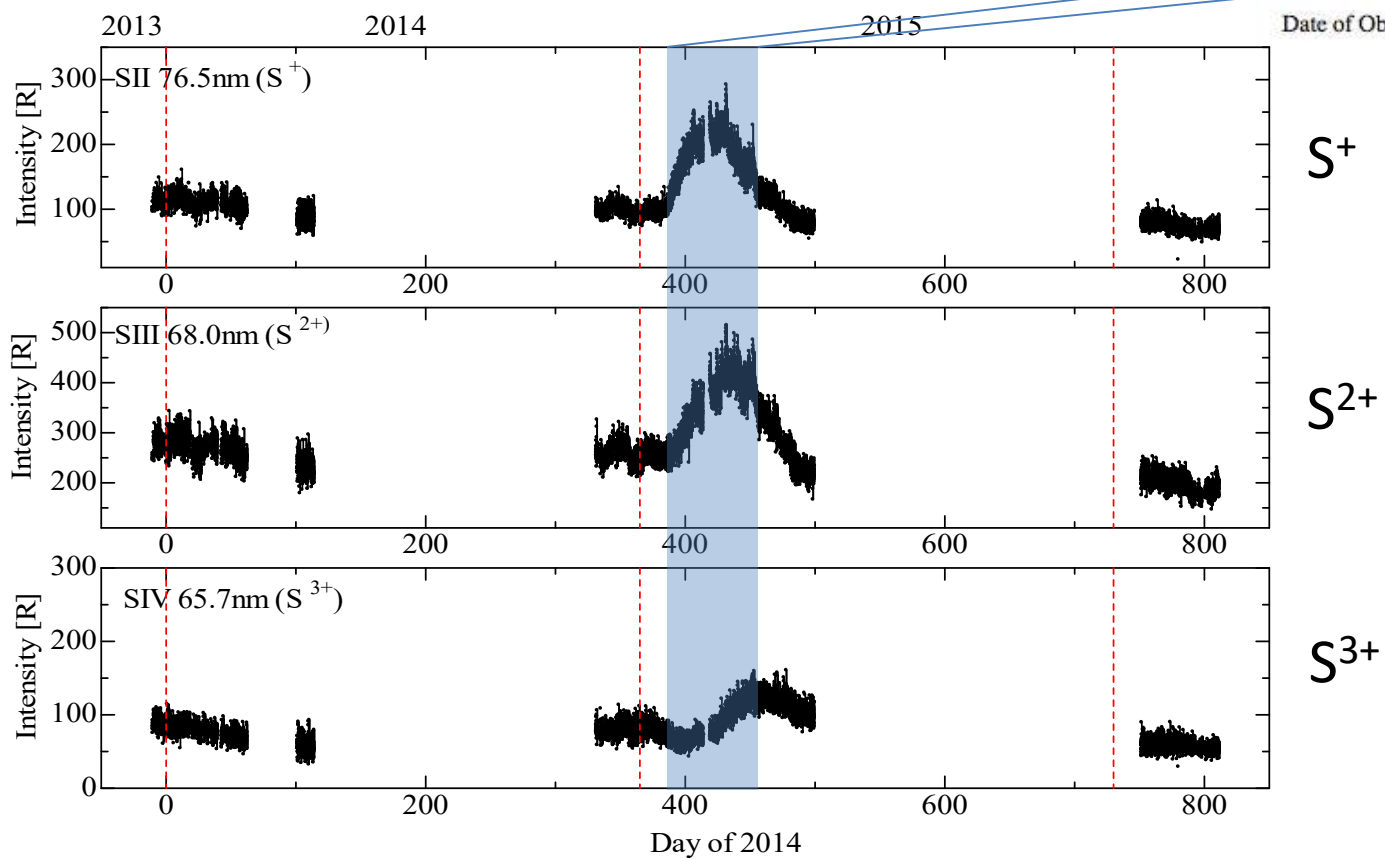
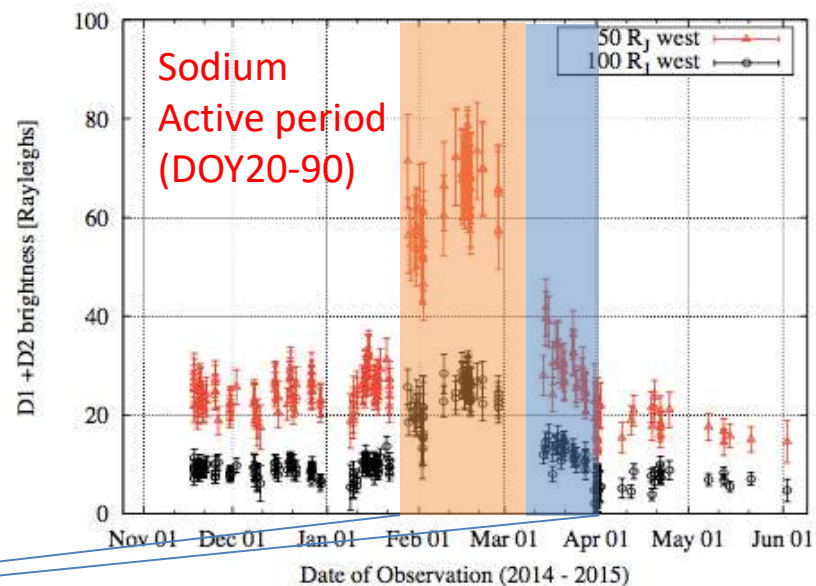


解釈

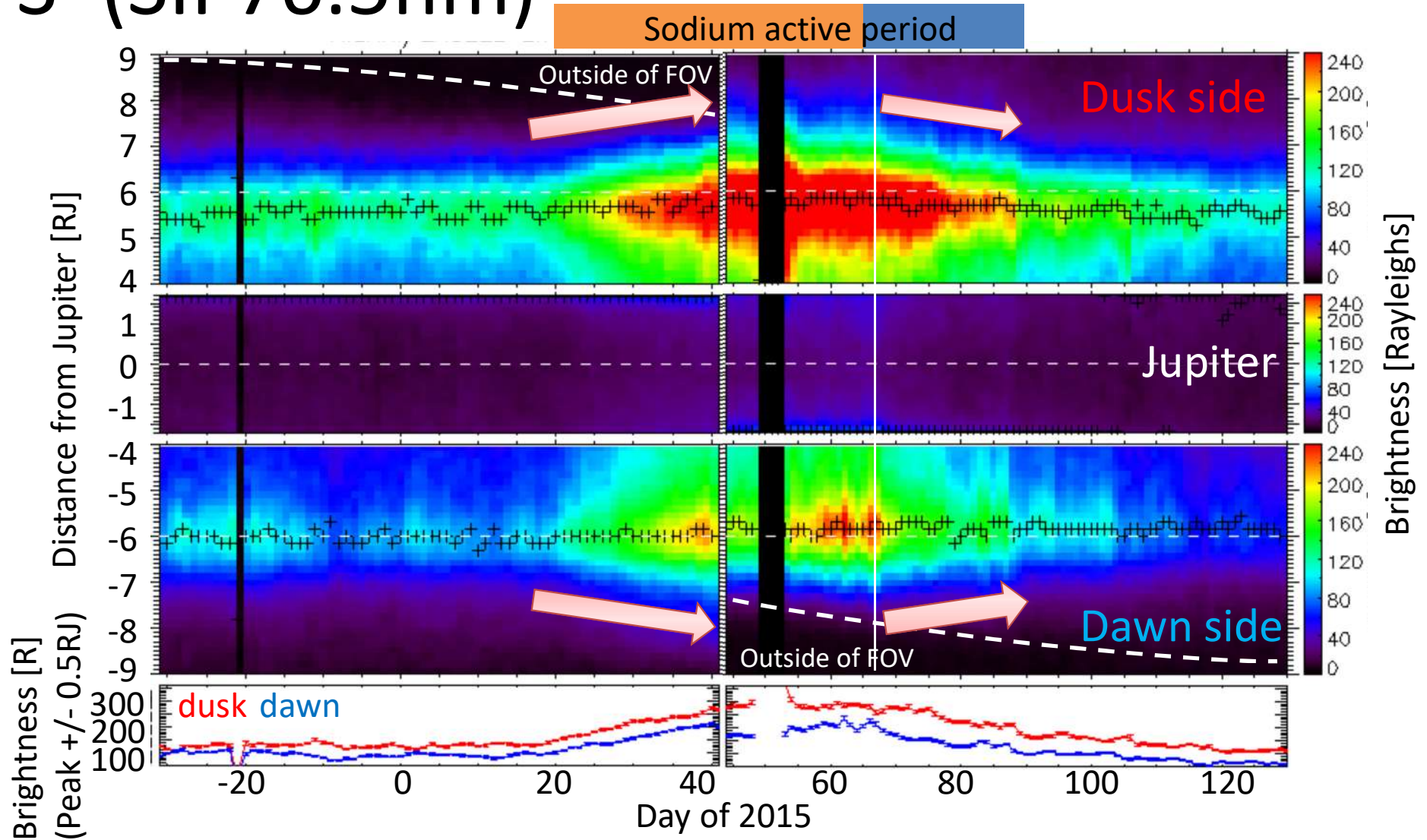
- 大気散逸にはPlumeタイプの火山である必要がある？
 - イオの重力圏外にガスを効率よく散逸するためには、大気の高高度に効率よくガスを供給する必要があるのではないか？
 - LokiはLava-Lakeタイプ (Oct.-Nov. 2014)
 - Kurdaragon, PillanはPlumeタイプ (Jan.-Mar. 2015)
- 2014年秋の火山活動はLava lakeだったのではないか？
 - 赤外線観測: Lokiは2014年10月以前に活動を開始
 - 活動期間中にLava lake溶岩中のSO₂が枯渇、或いは溶岩がSO₂を含んでいなかった？
 - 一方、Lava flowだと、表層の堆積したSO₂を昇華させるため、SO₂の供給が止みづらいのではないか？
- 課題
 - 観測データの蓄積と、火山タイプとの対応
 - 大気鉛直方向の輸送と大気散逸過程の具体的検討

磁気圏への影響

Io plasma torus total brightness
(Plasma content in the inner magnetosphere)



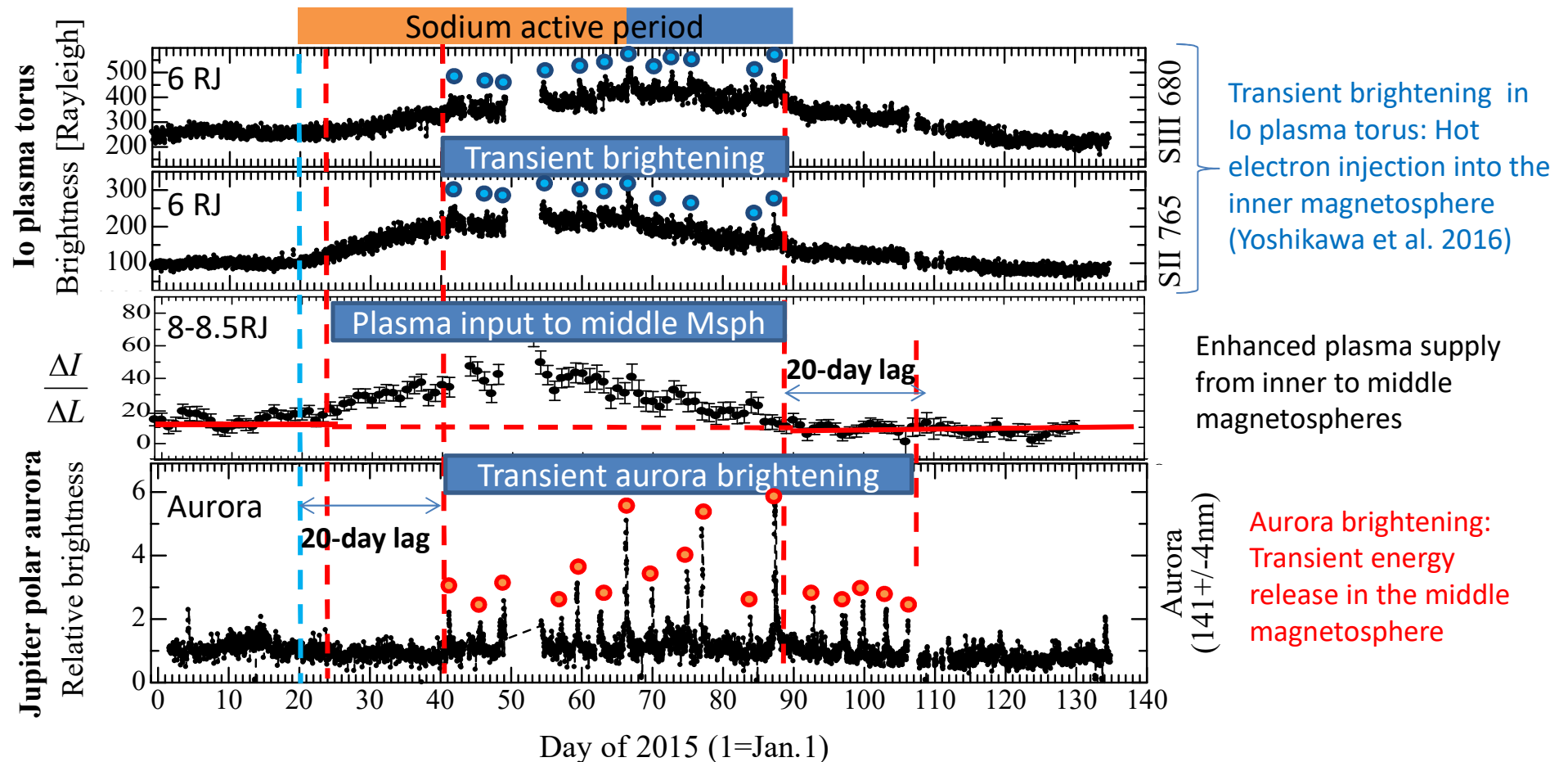
S⁺ (SII 76.5nm)



Primary Source : $S \rightarrow S^+ + e$
 (electron impact ionization)
 Loss : Transport

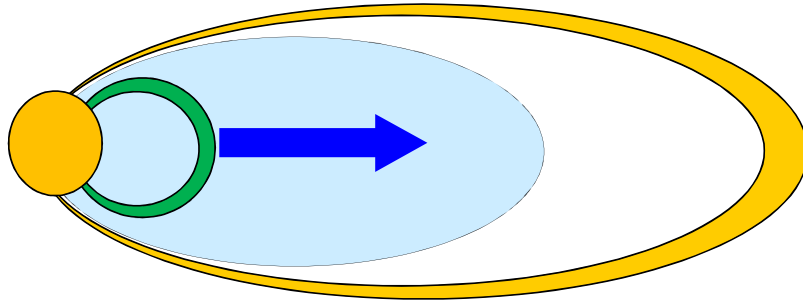
- S⁺ behavior is consistent with the neutral one.
- Systematic displacement of emission peak: no evidence
 (Contrary to Brown and Boushez [1997])

- Io's volcanic active period ~ increasing plasma supply
- DOY 25-90 : Enhanced plasma transport from inner to middle magnetosphere (8.0-8.5RJ)
 - (1) DOY 25-40 : No short-lived brightening aurora and the plasma torus
 - (2) DOY 40-90 : Series of short-lived aurora brightening + plasma torus brightening
 (Yoshikawa et al. 2016)
- DOY 90-110 : No plasma torus brightening + Short-lived aurora brightening



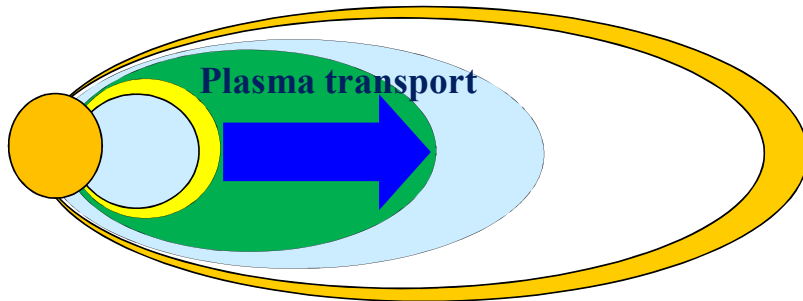
Interpretation

(1) Before DOY 20



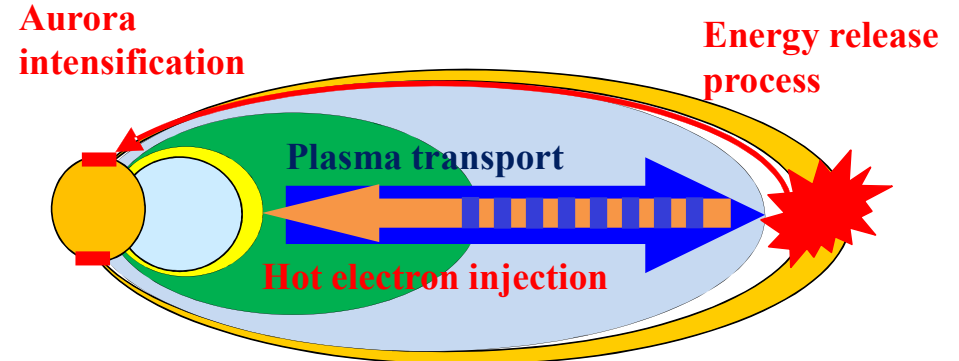
Steady state plasma supply from inner to middle magnetosphere

(2) DOY 20-40 (Sodium active period)



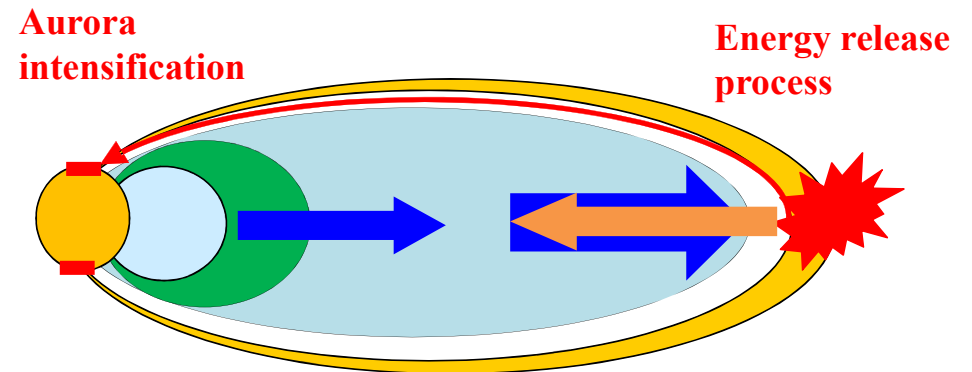
Increased outward plasma transport

(3) DOY 40-90 (Sodium active period)



Increased outward plasma transport, transient energy release in the middle/outer magnetosphere, and subsequent energy injection into the inner magnetosphere.

(4) DOY 90-110



Termination of the enhanced plasma transport. Transient energy release still active for ~20 days

Summary

- ナトリウム観測：イオ大気から木星磁気圏へガス散逸（プラズマ供給）のよい指標
- ナトリウムのみでの観測では、検出できない火山活動がある (Mendillo+, 2004 を否定？)。赤外線・ナトリウムの観測を組み合わせ、イオの火山型(Plume or not)をある程度特定できるのではないか。
- 火山活動による大気散逸量の変動を検出
大気の状態が火山活動により変化している。
- イオからのプラズマ供給の変化は、木星磁気圏内のエネルギー開放過程に大きな影響を及ぼしている。